

УДК 629.78 : 681.51

НАВЕДЕНИЕ И УПРАВЛЕНИЕ СВОБОДНОЛЕТАЮЩИМ РОБОТОМ ПРИ ЗАВЕРШЕНИИ СБЛИЖЕНИЯ С ПАССИВНЫМ ОБЪЕКТОМ В ДАЛЬНОМ КОСМОСЕ

© 2017 Е.И. Сомов, С.А. Бутырин

Самарский научный центр Российской академии наук

Статья поступила в редакцию 31.08.2017

Рассматривается задача пространственного наведения и управления космическим роботом-манипулятором при завершении его сближения с пассивным объектом в дальнем космосе. Представлены результаты компьютерной имитации и оценки потребных характеристик системы управления для прецизионной стабилизации движения свободнолетающего робота.

Ключевые слова: космический робот-манипулятор, сближение с целью, наведение, управление.

*Работа поддержана РФФИ (гранты 17-08-01708, 17-48-630637)
и отделением ЭММПУ РАН (программа фундаментальных исследований № 13)*

ВВЕДЕНИЕ

Разработка методов управления движением космических роботов-манипуляторов (КРМ), рис. 1, для механического захвата, транспортировки и сервисного обслуживания орбитальных пассивных космических объектов (ПКО) в условиях неопределенности и неполноты измерения состояния является актуальной научной проблемой. Решение данной проблемы позволит на регулярной основе продлевать сроки активного существования информационных спутников с уникальными техническими характеристиками и при необходимости перемещать такие спутники для технологической модернизации на борту орбитальной станции либо в наземных условиях. Здесь выделяются три ключевые задачи: 1) разработка бесконтактных методов идентификации кинематических параметров движения ПКО с помощью оптико-электронных камер и лазерных дальномеров КРМ; 2) разработка методов наведения и управления пространственным движением КРМ при завершении его сближения с ПКО; 3) подготовка к механическому захвату и исследование нелинейной динамики механического сцепления ПКО с КРМ. В обзорных статьях [1, 2] авторы провели анализ 55 научных работ и выделили проблемы теории систем управления движением свободнолетающих КРМ. В статье [3] выполнен аналитический обзор современных методов и технологий, связанных с кинематикой, динамикой, управлением и анализом возможностей КРМ для пилотируемых и беспилотных орбитальных миссий обслуживания.

Сомов Евгений Иванович, кандидат технических наук, доцент, ведущий научный сотрудник отдела «Динамика и управления движением». E-mail: e_somov@mail.ru
Бутырин Сергей Анфимович, кандидат технических наук, старший научный сотрудник отдела «Динамика и управления движением». E-mail: butyrinsa@mail.ru

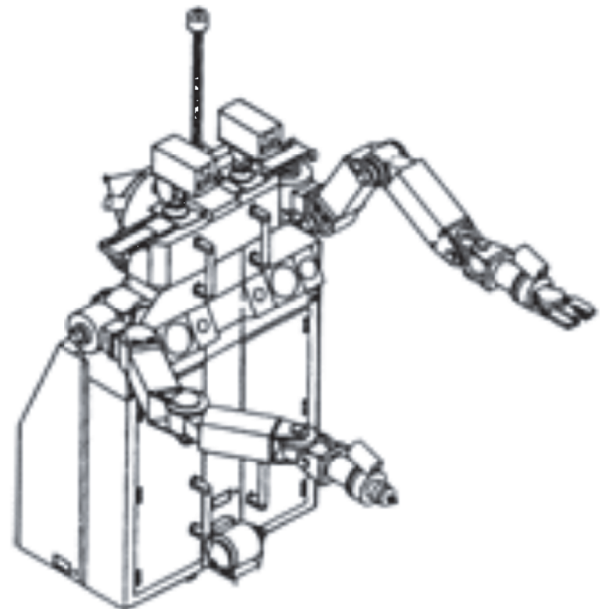


Рис. 1. Космический робот-манипулятор

лотных орбитальных миссий обслуживания. В этой статье выполнен анализ 370 публикаций по указанной тематике и кратко представлен предложенный в монографии [4] многоэтапный процесс захвата и транспортировки цели (target).

При орбитальном движении ПКО в околоземном пространстве весьма непросто решение первых двух из указанных выше ключевых задач. Здесь идентификация кинематических параметров движения ПКО выполняется на основе информации, накопленной при последовательных наблюдениях за его движением с помощью бортовых оптико-электронных средств КРМ с различными ракурсами, и с учетом законов механики космического полета твердого тела в гравитационном поле Земли, Луны и Солнца, а также влияния сил солнечного давления, определяется положение центра масс ПКО, оценива-

ются изменения углового положения и векторов скорости его поступательного и вращательного движений. Полученная в результате информация используется при синтезе закона наведения и формировании управления пространственным движением КРМ при завершении его сближения с целью. Целью данной статьи является разработка стратегии наведения и управления КРМ, а также оценка потребных ресурсов исполнительных органов его системы управления. Поэтому здесь рассматриваются первоочередные задачи наведения и управления движением КРМ при завершении его сближения с вращающимся ПКО в дальнем космосе, когда можно пренебречь внешними возмущениями, которые влияют на пространственные движения ПКО и КРМ. При этом регулярно используются инерциальная система координат (ИСК) и система координат, связанная с корпусом КРМ, которую обычно называют связанной системой координат (ССК), а также стандартные обозначения $\text{col}(\cdot) = \{\cdot\}$, $\text{line}(\cdot) = [\cdot]$, $(\cdot)^t$, $[\mathbf{a} \times]$ и \circ, \sim для векторов, матриц и кватернионов.

ПРИВОДЫ СИСТЕМЫ УПРАВЛЕНИЯ ДВИЖЕНИЕМ КРМ

Предполагается совпадение положений центра масс КРМ и полюса O в ССК $Oxuz$. На рис. 2 представлена симметричная схема двигательной установки (ДУ) на основе 8 реактивных двигателей (РД). Орты \mathbf{e}_p , $p = 1, \dots, 8 \equiv 1 \div 8$, осей сопел РД имеют в ССК представления в виде столбцов

$$\mathbf{e}_1 = -\mathbf{e}_8 = \begin{bmatrix} C_\alpha C_\beta \\ C_\alpha S_\beta \\ S_\alpha \end{bmatrix}; \quad \mathbf{e}_2 = -\mathbf{e}_7 = \begin{bmatrix} C_\alpha C_\beta \\ C_\alpha S_\beta \\ -S_\alpha \end{bmatrix};$$

$$\mathbf{e}_3 = -\mathbf{e}_6 = \begin{bmatrix} C_\alpha C_\beta \\ -C_\alpha S_\beta \\ S_\alpha \end{bmatrix}; \quad \mathbf{e}_4 = -\mathbf{e}_5 = \begin{bmatrix} C_\alpha C_\beta \\ -C_\alpha S_\beta \\ -S_\alpha \end{bmatrix},$$

где $S_x = \sin x$, $C_x = \cos x$, $x = \alpha^e, \beta^e$. Векторы ρ_p , $p = 1 \div 8$, точек O_p приложения вектора тяги РД в ССК (см. рис. 2) представляются столбцами

$$\rho_1 = \begin{bmatrix} b_x \\ b_y \\ b_z \end{bmatrix}; \quad \rho_2 = \begin{bmatrix} b_x \\ b_y \\ -b_z \end{bmatrix}; \quad \rho_3 = \begin{bmatrix} b_x \\ -b_y \\ b_z \end{bmatrix};$$

$$\rho_4 = \begin{bmatrix} b_x \\ -b_y \\ -b_z \end{bmatrix}; \quad \rho_5 = \begin{bmatrix} -b_x \\ b_y \\ b_z \end{bmatrix}; \quad \rho_6 = \begin{bmatrix} -b_x \\ b_y \\ -b_z \end{bmatrix};$$

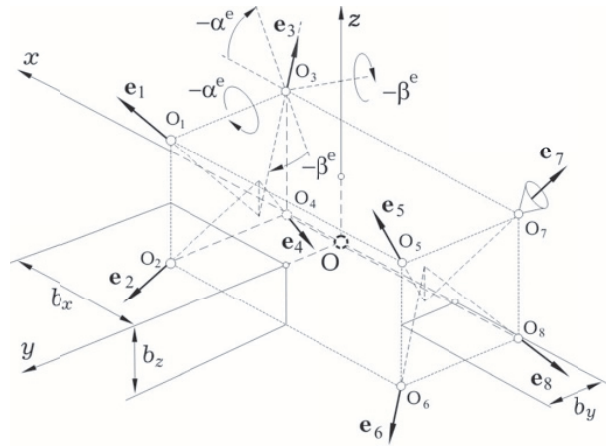


Рис. 2. Схема ДУ на основе 8 РД

$$\rho_7 = \begin{bmatrix} -b_x \\ -b_y \\ b_z \end{bmatrix}; \quad \rho_8 = \begin{bmatrix} -b_x \\ -b_y \\ -b_z \end{bmatrix},$$

Пусть каждый РД имеет широтно-импульсную модуляцию (ШИМ) тяги, что описывается нелинейными непрерывно-дискретными соотношениями $p_p(t) = P^m \text{PWM}(t - T_{zu}^e, t_r, \tau_m, v_{pr}) \forall t \in [t_r, t_{r+1})$ с периодом T_u^e и временным запаздыванием T_{zu}^e . Здесь v_{pr} является входным сигналом и функции

$$\text{PWM}(t, t_r, \tau_m, v_{pr}) \equiv \begin{cases} \text{sign } v_{pr} & t \in [t_r, t_r + \tau_{pr}) \\ 0 & t \in [t_r + \tau_{pr}, t_{r+1}) \end{cases};$$

$$\tau_{pr}(\tau_m) = \begin{cases} 0 & |v_{pr}| \leq \tau_m \\ \text{sat}(T_u^e, |v_{pr}|) & |v_{pr}| > \tau_m \end{cases},$$

$$t_r = r T_u^e, \quad t_{r+1} = t_r + T_u^e; \quad r \in N_0 \equiv [0, 1, 2, 3, \dots],$$

где P^m – номинальное значение тяги, одинаковое для всех РД. В ССК вектор тяги p -го РД вычисляется по формуле $\mathbf{p}_p(t) = -p_p(t)\mathbf{e}_p$, а векторы силы \mathbf{P}^e и момента \mathbf{M}^e ДУ – по соотношениям $\mathbf{P}^e = \sum \mathbf{p}_p(t) = \mathbf{P} \equiv \{P_1, P_2, P_3\}$ и $\mathbf{M}^e = \sum [\rho_p \times] \mathbf{p}_p(t)$. Орты \mathbf{r}_p векторов ρ_p вычисляются как $\mathbf{r}_p = \rho_p / \rho$, где скаляр $\rho = (b_x^2 + b_y^2 + b_z^2)^{1/2}$ является единым модулем точек O_p приложения векторов тяги РД в ССК. При обозначениях

$$\tilde{\mathbf{p}}(t) = \mathbf{P}^e(t) / P^m; \quad \tilde{\mathbf{m}}(t) = \mathbf{M}^e(t) / (P^m \rho); \quad \tau_r = \{\tau_{pr}\};$$

$$\mathbf{D}^e = \{[\mathbf{e}_p], [\mathbf{r}_p \times \mathbf{e}_p]\}, \quad \mathbf{t}^p = \{\tilde{\mathbf{p}}^p, \tilde{\mathbf{m}}^p\},$$

где векторы $\tilde{\mathbf{p}}^p$ и $\tilde{\mathbf{m}}^p$ представляют импульсы нормированных векторов сил $\tilde{\mathbf{p}}(t)$ и моментов $\tilde{\mathbf{m}}(t)$ ДУ, заданные в ССК, принципиальная проблема заключается в решении векторного уравнения $\mathbf{D}^e \tau_r = \mathbf{t}_r^p$, $\tau_r \in R_+^8$, $\mathbf{t}_r^p \in R^6$ при условии $0 \leq \tau_{pr} \leq T_u^e \quad \forall p = 1 \div 8$ относительно

компонентов вектора-столбца $\boldsymbol{\tau}_r = \{\tau_{pr}\}$, когда прямоугольная матрица \mathbf{D}^e и вектор-столбец $\mathbf{t}_r^p \in R^6$ заданы. При использовании псевдообратной матрицы $(\mathbf{D}^e)^\# \equiv (\mathbf{D}^e)^t (\mathbf{D}^e \mathbf{D}^e)^{-1}$ закон распределения длительностей τ_{pr} тяги всех 8 РД на полуинтервале времени $t \in [t_r, t_{r+1})$ с ШИМ их тяги с периодом T_u^e имеет простую алгоритмическую форму

$$\begin{aligned} \tilde{\boldsymbol{\tau}}_r &\equiv \{\tilde{\tau}_{pr}\} = (\mathbf{D}^e)^\# \mathbf{t}^{pg}; \tilde{\tau}_{pr} =: \tilde{\tau}_{pr} - \min(\tilde{\tau}_{pr}), \\ \text{if } q &\equiv \max(\tilde{\tau}_{pr}) > T_u^e \text{ then } \tau_{pr} = \tilde{\tau}_{pr} - T_u^e \tilde{\tau}_{pr} / q, \end{aligned} \quad (1)$$

а векторы тяги \mathbf{P}^e и момента \mathbf{M}^e определяются формулами $\mathbf{P}^e(t) = \mathbf{P}^m \tilde{\mathbf{p}}(t)$ и $\mathbf{M}^e(t) = \mathbf{P}^m \tilde{\mathbf{m}}(t)$.

При цифровом управлении ДУ каждый РД имеет кусочно-постоянное значение тяги $p_p(t) \in [0, P^m] \quad \forall t \in [t_r, t_{r+1})$ с постоянным периодом T_u^e и временным запаздыванием T_{zu}^e , где $P^m > 0$ – максимальное значение тяги, одинаковое для всех РД. При отсутствии квантования по уровню формирование такого цифрового управления описывается соотношением $p_p(t) = \mathbf{Z}h(t - T_{zu}^e, t_r, T_u^e, v_{pr}) \quad \forall t \in [t_r, t_{r+1})$, где функция $y_r(t) = \mathbf{Z}h(t, t_r, T_u^e, x_r) = x_r \quad \forall t \in [t_r, t_{r+1})$ описывает процесс фиксации сигнала x_r на полуинтервале $[t_r, t_{r+1})$. Здесь при обозначениях $\mathbf{p}_r = \{p_{pr}\}$ – вектор-столбец, составленный из значений тяги всех 8 РД; $\mathbf{t}_r^e = \{\mathbf{P}_r^e, \mathbf{M}_r^e\}$ – столбец, составленный из заданных в ССК векторов силы \mathbf{P}_r^e и момента \mathbf{M}_r^e ДУ; $\mathbf{D}^e = \{\mathbf{e}_p, [\mathbf{p}_p \times \mathbf{e}_p]\}$ – прямоугольная матрица, проблема заключается в решении уравнения $\mathbf{D}^e \mathbf{p}_r = \mathbf{t}_r^e$, $\mathbf{p}_r \in R_+^8$, $\mathbf{t}_r^e \in R^6$ при условии $0 \leq p_{pr} \leq P^m \quad \forall p = 1 \div 8$ относительно компонентов вектора-столбца $\mathbf{p}_r = \{p_{pr}\}$. В этом варианте закон распределения цифровых значений тяги всех 8 РД на каждом полуинтервале времени $t \in [t_r, t_{r+1})$ с периодом T_u^e имеет такую алгоритмическую форму:

$$\begin{aligned} \tilde{\mathbf{p}}_r &\equiv \{\tilde{p}_{pr}\} = (\mathbf{D}^e)^\# \mathbf{t}_r^e; \tilde{p}_{pr} =: \tilde{p}_{pr} - \min(\tilde{p}_{pr}), \\ \text{if } q &\equiv \max(\tilde{p}_{pr}) > P^m \text{ then } p_{pr} = \tilde{p}_{pr} / q. \end{aligned} \quad (2)$$

Последняя строка в алгоритме (2) явно указывает на ограниченность управляющих векторов силы \mathbf{P}^e и момента \mathbf{M}^e двигательной установки, постоянных на полуинтервале времени $t \in [t_r, t_{r+1})$.

Для управления ориентацией КРМ применяется силовой гироскопический кластер (СГК) четырех гиродинов (ГД). На рис. 3 представлена каноническая схема 2-SPE (система 2 ножничных пар – 2 Scissored Pair Ensemble), состоящая из двух пар ГД с ортами кинетических моментов (КМ) $\mathbf{h}_p(\boldsymbol{\beta}_p)$, $p = 1 \div 4$, область вариации

нормированного вектора КМ такого кластера $\mathbf{h}(\boldsymbol{\beta}) = \Sigma \mathbf{h}_p(\boldsymbol{\beta}_p)$, где столбец $\boldsymbol{\beta} = \{\boldsymbol{\beta}_p\}$, и ее проекции на плоскости симметрии гироскопического базиса $Ox_c^g y_c^g z_c^g$.

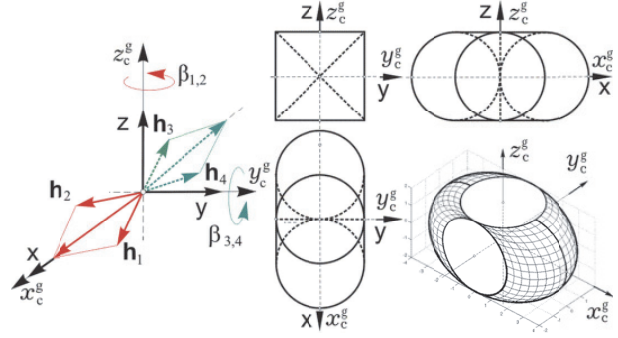


Рис. 3. Схема СГК и область вариации его КМ

Все внутренние сингулярные состояния схемы 2-SPE являются проходимыми [5], применяемый [6] явный аналитический закон настройки СГК (распределения трехмерного вектора его управляющего момента \mathbf{M}^g между четырьмя ГД) позволяет исключить избыточность данного кластера с вектором кинетического момента $\mathbf{H} = h_g \mathbf{h}(\boldsymbol{\beta})$, где h_g – одинаковое для всех четырех ГД постоянное значение модуля собственного КМ. При цифровом управлении $\mathbf{u}_k^g(t) = \{\mathbf{u}_{pk}^g(t)\}$ с периодом T_u , где $\mathbf{u}_{pk}^g(t) = \mathbf{u}_{pk}^g \quad \forall t \in [t_k, t_{k+1})$, $t_{k+1} = t_k + T_u$ и $k \in \mathbb{N}_0$, СГК формирует управляющий момент

$$\mathbf{M}_k^g(t) = -h_g \mathbf{A}_h(\boldsymbol{\beta}(t)) \mathbf{u}_k^g(t); \dot{\boldsymbol{\beta}}(t) = \mathbf{u}_k^g(t), \quad (3)$$

где прямоугольная матрица $\mathbf{A}_h(\boldsymbol{\beta}) = \partial \mathbf{h}(\boldsymbol{\beta}) / \partial \boldsymbol{\beta}$.

МОДЕЛИ ДВИЖЕНИЯ И ПОСТАНОВКА ЗАДАЧИ

Пусть в ССК, вращающейся относительно ИСК с вектором угловой скорости $\boldsymbol{\omega}(t) \equiv \{\omega_i(t)\}$, $i = 1 \div 3$, задан вектор $\mathbf{a}(t) \equiv \{a_i(t)\}$. В ИСК этот вектор отображается в виде $\mathbf{a}^1(t) \equiv \{a_i^1(t)\}$. Угловое положение ССК относительно ИСК определяется кватернионом $\boldsymbol{\Lambda} = (\lambda_0, \boldsymbol{\lambda})$, $\boldsymbol{\lambda} = \{\lambda_i\}$, который изменяется согласно кинематическому уравнению $\dot{\boldsymbol{\Lambda}} = \boldsymbol{\Lambda} \circ \boldsymbol{\omega} / 2$. Далее применяется также вектор модифицированных параметров Родрига (МПР) $\boldsymbol{\sigma} = \{\sigma_i\} = \mathbf{e} \operatorname{tg}(\Phi / 4)$ с обозначениями орта Эйлера \mathbf{e} и угла Φ собственного поворота. Вектор $\boldsymbol{\sigma}$ взаимно-однозначно связан с кватернионом $\boldsymbol{\Lambda}$ прямыми $\boldsymbol{\sigma} = \boldsymbol{\lambda} / (1 + \lambda_0)$ и обратными $\lambda_0 = (1 - \sigma^2) / (1 + \sigma^2)$, $\boldsymbol{\lambda} = 2\boldsymbol{\sigma} / (1 + \sigma^2)$ соотношениями. Отображение вектора $\mathbf{a}(t)$ в ССК и $\mathbf{a}^1(t)$ в ИСК связаны соотношениями $\mathbf{a}(t) = \tilde{\boldsymbol{\Lambda}}(t) \circ \mathbf{a}^1(t) \circ \boldsymbol{\Lambda}(t)$ и $\mathbf{a}^1(t) = \boldsymbol{\Lambda}(t) \circ \mathbf{a}(t) \circ \tilde{\boldsymbol{\Lambda}}(t)$, а производные по вре-

мени этих отображений – классической формулой Эйлера $\dot{\mathbf{a}}^i(t) \equiv d\mathbf{a}^i/dt = \mathbf{a}^*(t) + \boldsymbol{\omega}(t) \times \mathbf{a}(t)$ для дифференцирования вектора в подвижной системе координат, где $\mathbf{a}^*(t) \equiv \partial\mathbf{a}/\partial t$ является локальной производной вектора $\mathbf{a}(t)$ по времени в ССК.

Будем считать, что КРМ массой m оснащён двигательной установкой на основе 8 РД, которая создает только вектор силы $\mathbf{P} = \{P_i\}$, и СГК на основе 4 ГД с вектором управляющего момента $\mathbf{M}^g = \{M_i^g\}$. Предполагая отсутствие всех внешних возмущений в дальнем космосе, модель пространственного движения КРМ при отображении на оси ССК принимается в виде

$$\begin{aligned} \mathbf{r}_r^* + \boldsymbol{\omega} \times \mathbf{r}_r &= \mathbf{v}_r; & \mathbf{v}_r^* + \boldsymbol{\omega} \times \mathbf{v}_r &= \mathbf{w}, & (4) \\ \dot{\boldsymbol{\Lambda}} &= \boldsymbol{\Lambda} \circ \boldsymbol{\omega} / 2; & \mathbf{J}\dot{\boldsymbol{\omega}} + \boldsymbol{\omega} \times \mathbf{G}^o &= \mathbf{M}^g. & (5) \end{aligned}$$

Здесь уравнения (4) с векторами положения \mathbf{r}_r и скорости \mathbf{v}_r описывают поступательное движение КРМ (*robot*, нижний индекс r), где вектор $\mathbf{w} = \{w_i\} \equiv \mathbf{P}/m$ является управляющим ускорением, а уравнения (5) представляют управляемое вращательное движение КРМ с тензором инерции \mathbf{J} , где $\mathbf{G}^o = \mathbf{J}\boldsymbol{\omega} + \mathbf{H}$ является вектором кинетического момента системы твердых тел.

Будет для простоты считать, что в ИСК поступательное движение ПКО с векторами положения \mathbf{r}_t^i и скорости \mathbf{v}_t^i (*target*, нижний индекс t) является прямолинейным и равномерным, а его вращательное движение происходит вокруг фиксированного в ИСК орта \mathbf{e}_t^o вектора угловой скорости. В ССК векторы дальности $\Delta\mathbf{r}$ до цели и рассогласования $\Delta\mathbf{v}$ между скоростями КРМ и ПКО вычисляются по соотношениям $\Delta\mathbf{r} = \mathbf{r}_t - \mathbf{r}_r$ и $\Delta\mathbf{v} = \mathbf{v}_t - \mathbf{v}_r$ соответственно.

Завершение сближения КРМ с ПКО начинается при дальности $\Delta r_i \approx 500$ м, когда КРМ располагается внутри конуса с началом в центре масс ПКО, осью симметрии по отрицательному направлению орта скорости \mathbf{v}_t^i цели и углом полу-раствора 60 град. Задача состоит в синтезе законов пространственного наведения и управления движением КРМ, при которых робот за заданное время сближается с целью до дальности $\Delta r_f \approx 30$ м, когда орт \mathbf{e}_x его бортовой видеокамеры становится параллельным орту \mathbf{e}_t^o вектора угловой скорости ПКО, и стабилизации такого положения КРМ относительно подвижной цели с точностью ≈ 0.3 м. Последующие действия робота-манипулятора (разведение телескопических «рук», финальное сближение с ПКО при одновременной «закрутке» относительно орта \mathbf{e}_x для синхронизации вращений корпуса КРМ и цели, зависание с вращением и др.) связаны с третьей ключевой задачей захвата ПКО и здесь не рассматриваются.

ЗАКОНЫ НАВЕДЕНИЯ

В ИСК модель (4) поступательного движения КРМ принимает простой классический вид

$$\dot{\mathbf{r}}_r^i = \mathbf{v}_r^i; \quad \dot{\mathbf{v}}_r^i = \mathbf{w}^i, \quad (6)$$

где вектор ускорения $\mathbf{w}^i = \mathbf{w}^i(t) = \boldsymbol{\Lambda}(t) \circ \mathbf{w} \circ \tilde{\boldsymbol{\Lambda}}(t)$ представлен в ИСК с помощью кватерниона $\boldsymbol{\Lambda}(t)$. При отсутствии вращения ($\boldsymbol{\omega} \equiv \mathbf{0}$) ориентация КРМ в ИСК определяется постоянным кватернионом $\boldsymbol{\Lambda}_*$, модели движения (4) и (6) совпадают и вектор ускорения $\mathbf{w}^i = \boldsymbol{\Lambda}_* \circ \mathbf{w} \circ \tilde{\boldsymbol{\Lambda}}_*$ определяется в ССК, которая имеет фиксированное угловое положение в исходной ИСК, и, следовательно, по существу является локальной ИСК, развернутой относительно исходной.

С целью упрощения реализации требуемого вектора ускорения \mathbf{w} с помощью ДУ в ССК принимается следующая стратегия построения законов наведения КРМ, состоящая из трех этапов: 1) разгон робота с постоянным вектором линейного ускорения \mathbf{w} в ССК при фиксированной ориентации КРМ в исходной ИСК в процессе его поступательного движения; 2) прямолинейное равномерное движение центра масс КРМ с одновременным разворотом его корпуса для ориентации орта \mathbf{e}_x бортовой видеокамеры в ИСК параллельно известному орту \mathbf{e}_t^o вектора угловой скорости ПКО; 3) поступательное движение центра масс КРМ в локальной ИСК по траектории векторного сплайна соответствующего порядка с точным выполнением заданных краевых условий.

Синтез закона пространственного углового наведения КРМ (поворотного маневра) на некотором интервале времени $t \in [t_i^p, t_f^p]$ с заданными краевыми условиями

$$\begin{aligned} \boldsymbol{\Lambda}(t_i^p) &= \boldsymbol{\Lambda}_i; & \boldsymbol{\omega}(t_i^p) &= \boldsymbol{\omega}_i; & \boldsymbol{\varepsilon}(t_i^p) &= \boldsymbol{\varepsilon}_i; \\ \boldsymbol{\Lambda}(t_f^p) &= \boldsymbol{\Lambda}_f; & \boldsymbol{\omega}(t_f^p) &= \boldsymbol{\omega}_f; & \boldsymbol{\varepsilon}(t_f^p) &= \boldsymbol{\varepsilon}_f; & \dot{\boldsymbol{\varepsilon}}(t_f^p) &= \dot{\boldsymbol{\varepsilon}}_f \end{aligned} \quad (7)$$

выполняется при ограничениях на модули векторов его угловой скорости $\boldsymbol{\omega}(t)$, углового ускорения $\boldsymbol{\varepsilon}(t)$ и производной $\dot{\boldsymbol{\varepsilon}}(t)$ по времени. При балансе системы управления КРМ по вектору КМ \mathbf{G}^o с условием $\mathbf{G}^o \equiv \mathbf{0}$ модель динамики его углового движения принимает вид $\dot{\boldsymbol{\omega}} = \boldsymbol{\varepsilon}$ с вектором углового ускорения $\boldsymbol{\varepsilon} = \mathbf{J}^{-1}\mathbf{M}^g$, а модель углового движения (5) – кинематическое представление

$$\dot{\boldsymbol{\Lambda}} = \boldsymbol{\Lambda} \circ \boldsymbol{\omega} / 2; \quad \dot{\boldsymbol{\omega}} = \boldsymbol{\varepsilon}; \quad \dot{\boldsymbol{\varepsilon}} = \boldsymbol{\varepsilon}^* = \mathbf{v}. \quad (8)$$

Разработанный закон углового наведения КРМ основывается на необходимом и достаточном условии разрешимости классической задачи Дарбу. Здесь решение представляется как результат сложения трех одновременно происходящих элементарных поворотов «вло-

женных» базисов \mathbf{E}_k вокруг ортов \mathbf{e}_k , $k = 1 \div 3$ осей Эйлера, положение которых определяется по крайевым условиям (7) модели (8). При этом искомым кватернион $\Lambda(t)$ определяется произведением $\Lambda(t) = \Lambda_1 \circ \Lambda_1(t) \circ \Lambda_2(t) \circ \Lambda_3(t)$, где $\Lambda_k(t) \equiv (\cos(\varphi_k(t)/2), \mathbf{e}_k \sin(\varphi_k(t)/2))$, функция $\varphi_k(t)$ определяет угол k -го поворота, $k = 1 \div 3$. В силу неподвижности орта \mathbf{e}_k в базисе \mathbf{E}_{k-1} имеем соотношения $\boldsymbol{\omega}_k(t) = \dot{\varphi}_k(t)\mathbf{e}_k$, $\boldsymbol{\varepsilon}_k(t) = \ddot{\varphi}_k(t)\mathbf{e}_k$, $\boldsymbol{\varepsilon}_k^*(t) \equiv \dot{\boldsymbol{\varepsilon}}_k(t) = \ddot{\varphi}_k(t)\mathbf{e}_k$. Введем обозначения $\boldsymbol{\omega}^{(k)}, \boldsymbol{\varepsilon}^{(k)}, \dot{\boldsymbol{\varepsilon}}^{(k)}$, $k = 1 \div 3$ векторов $\boldsymbol{\omega}$, $\boldsymbol{\varepsilon}$ и $\dot{\boldsymbol{\varepsilon}}$ в базисе \mathbf{E}_k , оператор $\mathbf{a}_{k-1}^{(k)} = \Phi(\mathbf{a}_{k-1}, \Lambda_k) \equiv \tilde{\Lambda}_k \circ \mathbf{a}_{k-1} \circ \Lambda_k$ преобразования вектора \mathbf{a}_{k-1} из базиса \mathbf{E}_{k-1} в базис \mathbf{E}_k и назовем $\boldsymbol{\omega}_1(t) = \dot{\varphi}_1(t)\mathbf{e}_1$, $\boldsymbol{\varepsilon}_1(t) = \ddot{\varphi}_1(t)\mathbf{e}_1$ и $\dot{\boldsymbol{\varepsilon}}_1(t) = \ddot{\varphi}_1(t)\mathbf{e}_1$. Векторы $\boldsymbol{\omega}$, $\boldsymbol{\varepsilon}$ и $\boldsymbol{\varepsilon}^* = \dot{\boldsymbol{\varepsilon}}$ в ССК определяются значениями этих же векторов в базисе \mathbf{E}_3 , которые формируются по рекуррентным формулам, $k = 2, 3$:

$$\begin{aligned} \boldsymbol{\omega}_{k-1}^{(k)} &= \Phi(\boldsymbol{\omega}_{k-1}, \Lambda_k); \boldsymbol{\varepsilon}_{k-1}^{(k)} = \Phi(\boldsymbol{\varepsilon}_{k-1}, \Lambda_k); \\ \dot{\boldsymbol{\varepsilon}}_{k-1}^{(k)} &= \Phi(\dot{\boldsymbol{\varepsilon}}_{k-1}, \Lambda_k); \boldsymbol{\omega}^{(k)} = \boldsymbol{\omega}_{k-1}^{(k)} + \boldsymbol{\omega}_k; \\ \boldsymbol{\varepsilon}^{(k)} &= \boldsymbol{\varepsilon}_{k-1}^{(k)} + \boldsymbol{\varepsilon}_k + \boldsymbol{\omega}_{k-1}^{(k)} \times \boldsymbol{\omega}_k; \dot{\boldsymbol{\varepsilon}}^{(k)} = \dot{\boldsymbol{\varepsilon}}_{k-1}^{(k)} + \dot{\boldsymbol{\varepsilon}}_k + \\ &+ \boldsymbol{\omega}_{k-1}^{(k)} \times \boldsymbol{\varepsilon}_k + (2\boldsymbol{\varepsilon}_{k-1}^{(k)} + \boldsymbol{\omega}_{k-1}^{(k)} \times \boldsymbol{\omega}_k) \times \boldsymbol{\omega}_k. \end{aligned} \quad (9)$$

В результате при назначении набора скалярных сплайнов $\varphi_k(t)$ по явным аналитическим соотношениям получаются векторные функции $\boldsymbol{\omega}(t) = \boldsymbol{\omega}^{(3)}(t)$, $\boldsymbol{\varepsilon}(t) = \boldsymbol{\varepsilon}^{(3)}(t)$ и $\boldsymbol{\varepsilon}^*(t) = \dot{\boldsymbol{\varepsilon}}(t) = \dot{\boldsymbol{\varepsilon}}^{(3)}(t)$.

Пусть кватернион $\Lambda^* \equiv (\lambda_0^*, \boldsymbol{\lambda}^*) = \tilde{\Lambda}_1 \circ \Lambda_f$ имеет орт оси Эйлера $\mathbf{e}_3 = \boldsymbol{\lambda}^* / \sin(\varphi^*/2)$ третьего поворота, где угол $\varphi^* = 2 \arccos(\lambda_0^*)$. Для 1-го и 2-го поворотов позиционные крайевые условия принимаются в виде $\Lambda_1(t_1^p) = \Lambda_1(t_f^p) = \mathbf{1}$, $\Lambda_2(t_1^p) = \Lambda_2(t_f^p) = \mathbf{1}$, а для 3-го поворота назначаются как

$\Lambda_3(t_1^p) = \mathbf{1}$, $\Lambda_3(t_f^p) = (\cos(\varphi_3^f/2), \mathbf{e}_3 \sin(\varphi_3^f/2))$, где $\varphi_3^f = \varphi^*$ и $\mathbf{1}$ – единичный кватернион. Орт \mathbf{e}_1 оси Эйлера 1-го поворота назначается из условия его ортогональности орту \mathbf{e}_3 , а орт $\mathbf{e}_2 = \mathbf{e}_3 \times \mathbf{e}_1$. Векторы $\boldsymbol{\omega}(t)$, $\boldsymbol{\varepsilon}(t)$, $\boldsymbol{\varepsilon}^*(t) \equiv \dot{\boldsymbol{\varepsilon}}(t)$ представляются в аналитическом виде при задании сплайнов $\varphi_k(t)$ различных порядков с использованием в общем случае трех участков заданного интервала ПМ [7]: 1) участок разгона с оптимизацией по быстродействию при ограничениях, где КРМ из заданных крайевых условий на левом конце траектории переводится на движение с постоянным вектором угловой скорости по орту \mathbf{e}_3 ; 2) участок движения с указанным вектором угловой скорости по орту \mathbf{e}_3 ; 3) завершающий участок

движения КРМ с гарантированным выполнением заданных крайевых условий на правом конце траектории при использовании сплайнов 6-го порядка и соотношений (9). При этом все параметры скалярных сплайнов $\varphi_k(t)$ вычисляются по явным аналитическим соотношениям.

ЗАКОНЫ УПРАВЛЕНИЯ

Пусть задан закон углового наведения КРМ $\Lambda^p(t), \boldsymbol{\omega}^p(t), \dot{\boldsymbol{\omega}}^p(t) = \boldsymbol{\varepsilon}^p(t)$ в ИСК. Кватерниону $\mathbf{E} = (e_0, \mathbf{e}) = \tilde{\Lambda}^p \circ \Lambda$ с вектором $\mathbf{e} = \{e_i\}$ соответствует вектор параметров Эйлера $\mathbf{E} = \{e_0, \mathbf{e}\}$ и матрица угловой погрешности $\mathbf{C}^e = \mathbf{I}_3 - 2[\mathbf{e} \times] \mathbf{Q}_e^t$, где $\mathbf{Q}_e = \mathbf{I}_3 e_0 + [\mathbf{e} \times]$. После дискретной фильтрации измеренных с периодом T_q значений вектора углового рассогласования $\boldsymbol{\varepsilon}_l = -2e_{0l}\mathbf{e}_l$, $l \in \mathbb{N}_0$, формируются значения вектора $\boldsymbol{\varepsilon}_k^f$, $k \in \mathbb{N}_0$, цифрового закона управления СГК с периодом T_u :

$$\begin{aligned} \mathbf{g}_{k+1} &= \mathbf{B}\mathbf{g}_k + \mathbf{C}\boldsymbol{\varepsilon}_k^f; \quad \tilde{\mathbf{m}}_k = \mathbf{K}\mathbf{g}_k + \mathbf{P}\boldsymbol{\varepsilon}_k^f; \\ \mathbf{M}_k^g &= \boldsymbol{\omega}_k \times \mathbf{G}_k^o + \mathbf{J}(\mathbf{C}_k^e \boldsymbol{\varepsilon}_k^p + [\mathbf{C}_k^e \boldsymbol{\omega}_k^p \times] \boldsymbol{\omega}_k + \tilde{\mathbf{m}}_k). \end{aligned} \quad (10)$$

Здесь $\mathbf{C}_k^e = \mathbf{C}^e(\mathbf{E}_k)$, $\mathbf{G}_k^o = \mathbf{J}\boldsymbol{\omega}_k + \mathbf{H}_k$ и используются диагональные матрицы \mathbf{K} , \mathbf{B} , \mathbf{C} и \mathbf{P} . Далее вектор \mathbf{M}_k^g с помощью явного закона распределения команд между 4 ГД «пересчитывается» в столбец $\mathbf{u}_k^g = \{u_{\beta}^g\}$ сигналов управления ГД, которые фиксируются на полуинтервалах цифрового управления СГК с периодом T_u для формирования его управляющего момента $\mathbf{M}_k^g(t)$ (3).

При законе наведения $\Delta \mathbf{r}^p(t), \Delta \mathbf{v}^p(t), \mathbf{w}^p(t)$ в поступательном движении КРМ выполняется фильтрация измеренных с периодом T_p значений вектора позиционного рассогласования $\boldsymbol{\varepsilon}_s = (\Delta \mathbf{r}_s^p - \Delta \mathbf{r}_s)$, $s \in \mathbb{N}_0$, и с периодом T_u формируются значения вектора $\boldsymbol{\varepsilon}_r^f$, $r \in \mathbb{N}_0$, которые применяются в законе управления вектором \mathbf{P} тяги двигательной установки

$$\begin{aligned} \mathbf{g}_{k+1} &= \mathbf{B}\mathbf{g}_k + \mathbf{C}\boldsymbol{\varepsilon}_k^f; \quad \tilde{\mathbf{w}}_k = \mathbf{K}\mathbf{g}_k + \mathbf{P}\boldsymbol{\varepsilon}_k^f; \\ \mathbf{P}_k &= \{\mathbf{P}_{ik}\} \equiv \mathbf{P}_k^e = m(\mathbf{w}_k^p + \tilde{\mathbf{w}}_k). \end{aligned} \quad (11)$$

Далее вектор \mathbf{P}_k тяги ДУ распределяется между 8 реактивными двигателями по соотношениям (1) либо (2) при их широтно-импульсном или цифровом управлении с периодом T_u^e соответственно.

РЕЗУЛЬТАТЫ ИМИТАЦИИ

При компьютерной имитации рассматривался космический робот-манипулятор с массой $m = 1000$ кг и тензором инерции $\mathbf{J} = \text{diag}\{812; 587; 910\}$ кг м². Было принято,

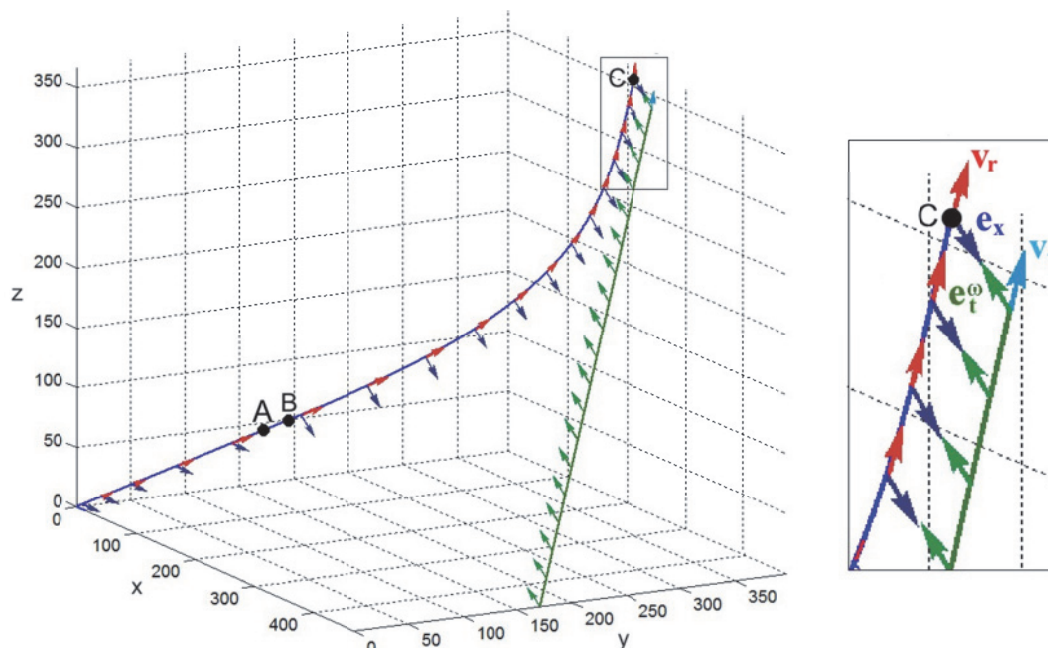


Рис. 4. Сцена пространственного сближения КРМ (синий цвет) с ПКО (зеленый цвет)

что при управлении с периодом $T_u^e = 4$ с каждый из 8 РД в составе ДУ имеет максимальное значение тяги $P^m = 0.5$ Н, расположение РД в ССК определяется плечами $b_x = 1$ м, $b_y = 0.7$ м, $b_z = 0.6$ м и углами их установки $\alpha^e = 35.25$ град и $\beta^e = 45$ град, см. рис. 2. При этом максимальная тяга ДУ по каждой из осей ССК одинакова и составляет 1.15 Н. Каждый из 4 ГД в составе СГК (см. рис. 3) имеет модуль собственного КМ $h_g = 30$ Нмс и период цифрового управления $T_u = 0.25$ с. Пусть в момент времени $t = t_i = 0$ КРМ неподвижен в ИСК ($\mathbf{r}_r(t_i) = \mathbf{0}$, $\mathbf{v}_r(t_i) = \mathbf{0}$) и его ССК совпадает с ИСК ($\mathbf{\Lambda}(t_i) = \mathbf{1}$, $\mathbf{\omega}(t_i) = \mathbf{0}$), орт направления на цель $\mathbf{c}(t_i) = \{C_\varphi, S_\varphi, 0\}$ при $\varphi = 20$ град и начальная дальность до цели $\Delta r(t_i) = \Delta r_i = 500$ м, рис. 4. Поступательное движение цели в ИСК происходит с постоянным вектором скорости $\mathbf{v}_t^i = \{-0.05, 0.05, 0.075\}$ м/с и ПКО вращается в ИСК вокруг орта $\mathbf{e}_t^\omega = \{-0.608, -0.228, 0.760\}$. В момент времени $t = t_f = 4250$ с (≈ 1.2 ч) требуется обеспечить сближение КРМ с целью при заданной дальности $\Delta r(t_f) = \Delta r_f = 30$ м и параллельности орта \mathbf{e}_x орту \mathbf{e}_t^ω , а также последующую стабилизацию такого положения КРМ относительно ПКО с точностью ≈ 0.1 м. В соответствии с описанной стратегией выполнен синтез закона наведения КРМ с 3 этапами:

1) при $t \in [0, 1420)$ с производится разгон робота с постоянным вектором ускорения \mathbf{w} в ССК, в результате достигаемая им позиция представлена точкой А на рис. 4;

2) при $t \in [1420, 1520)$ с КРМ совершает

равномерное прямолинейное движение с одно-временным разворотом его корпуса для ориентации орта \mathbf{e}_x параллельно орту \mathbf{e}_t^ω , достигаемая им позиция представлена точкой В на рис. 4, а закон углового наведения – на рис. 5, где $\boldsymbol{\varepsilon} = \boldsymbol{\varepsilon}^p(t)$, $\boldsymbol{\omega} = \boldsymbol{\omega}^p(t)$ и $\boldsymbol{\sigma} = \boldsymbol{\sigma}^p(t)$;

3) при $t \in [1520, 4250)$ с КРМ выполняет поступательное движение по траектории векторного сплайна шестого порядка с точным выполнением краевых условий $\Delta r(t_f) = 30$ м, $\Delta v(t_f) = 0$ и $\mathbf{w}(t_f) = 0$ в точке С на рис. 4.

Закон наведения КРМ в поступательном движении с разворотом ССК представлен на рис. 6, где $\Delta \mathbf{r} = \Delta \mathbf{r}^p(t)$, $\Delta \mathbf{v} = \Delta \mathbf{v}^p(t)$, $\mathbf{w} = \mathbf{w}^p(t)$.

На интервале времени $t \in [4250, 5000]$ с дополнительно предъявляется требование стабилизации положения КРМ относительно ПКО с точностью ≈ 0.3 м. Отметим, что на рис. 5 и рис. 6 черным цветом отмечены модули соответствующих векторных функций.

Будем считать, что измерение ориентации КРМ выполняется астроинерциальной системой определения углового положения (СОУП), погрешности выходных дискретных сигналов СОУП с периодом $T_q = 0.125$ с содержат центрированный гауссовский шум со среднеквадратичным отклонением (СКО) $\sigma^a = 1$ угл. сек и после дискретной фильтрации измеренных значений вектора углового рассогласования формируются значения вектора $\boldsymbol{\varepsilon}_k^f$ в цифровом законе управления СГК (10) с периодом $T_u = 0.25$ с. Как показано в [8 - 10], для синтезированного закона углового наведения космического аппарата с инерционными параметрами, соответствующими КРМ, достигается точность ста-

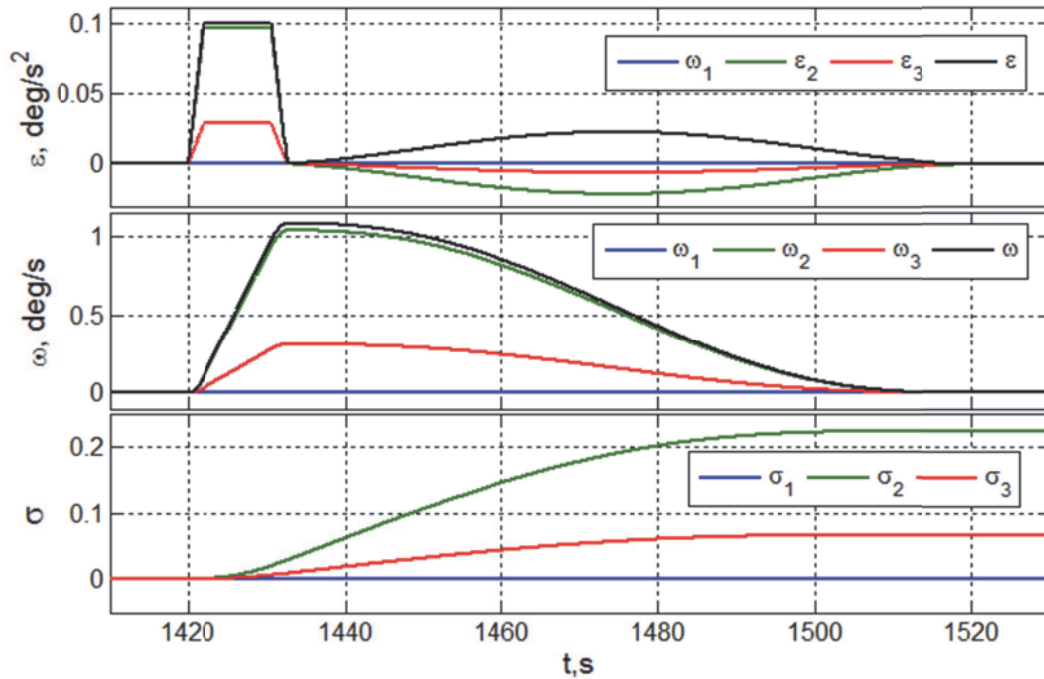


Рис. 5. Закон углового наведения КРМ

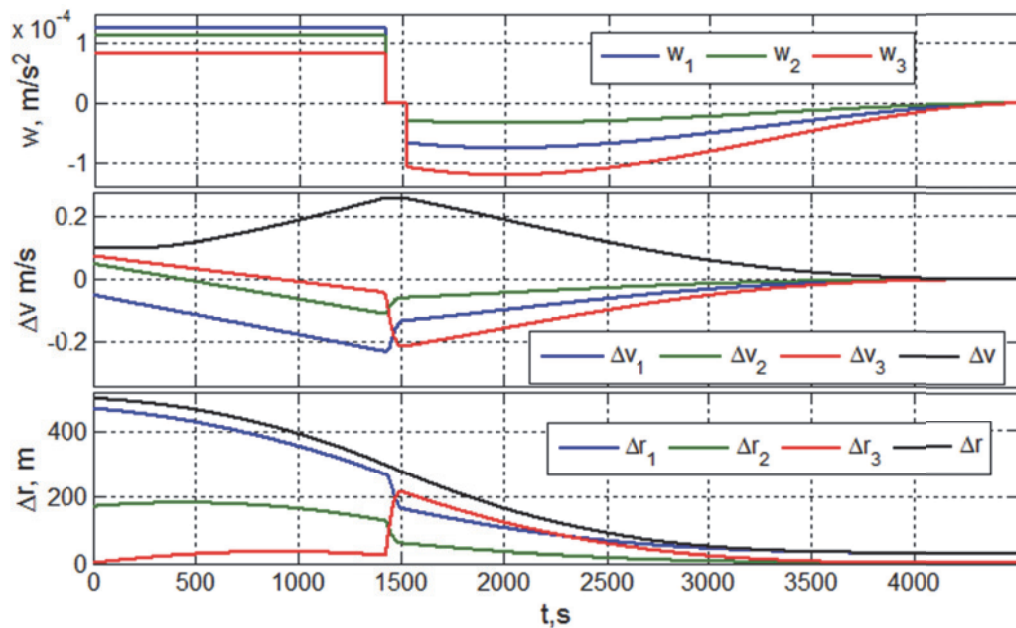


Рис. 6. Закон наведения КРМ в поступательном движении с разворотом его корпуса

билизации не хуже нескольких угловых секунд, что вполне достаточно.

Пусть дальность до цели измеряется лазерными дальномерами с периодом $T_p = 1$ с. Для оценки точности стабилизации закона наведения КРМ в поступательном движении предположим, что СКО погрешности измерения дальности $\sigma^b = 0.05$ м при $\Delta r(t) \geq 300$ м и по завершению разворота корпуса КРМ при $\Delta r(t) < 300$ м СКО такой погрешности измерения $\sigma^b = 0.01$ м. Погрешности стабилизации дальности $\delta \Delta r_i$ при реализации указанного закона наведения, полученные при компьютерной имитации, представлены на рис. 7, а на рис. 8 приводятся изменения компонен-

тов P_i вектора тяги ДУ при цифровом управлении с дискретностью по уровню $d^c = 0.01$ Н. На рис. 9 – 11 детально представлены изменения компонентов вектора погрешности дальности и вектора тяги ДУ, а также тяги всех восьми РД при завершении сближения и стабилизации.

При широтно-импульсном управлении ДУ с ШИМ тяги каждого из 8 РД важное значение имеет параметр τ_m модуляционной характеристики $\tau_{pr}(\tau_m)$, который определяет минимальный импульс тяги РД $IP_{pr} = \tau_m P^m$ на полуинтервале времени $t \in [t_r, t_{r+1})$, $t_{r+1} = t_r + T_u^c$. При $T_u^c = 4$ с, $\tau_m = 0.25$ с и $P^m = 0.5$ Н минимальный импульс тяги РД принимает значение $IP_{pr} = 0.125$

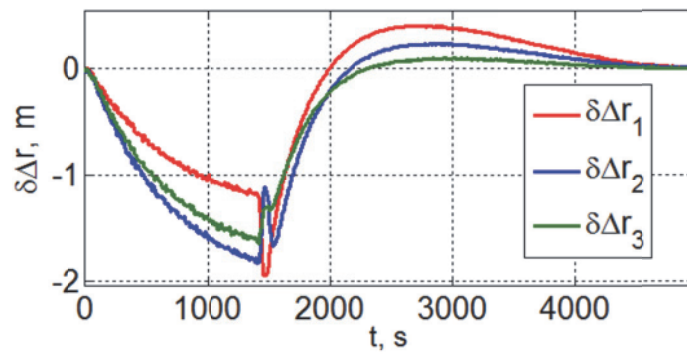


Рис. 7. Погрешности стабилизации дальности

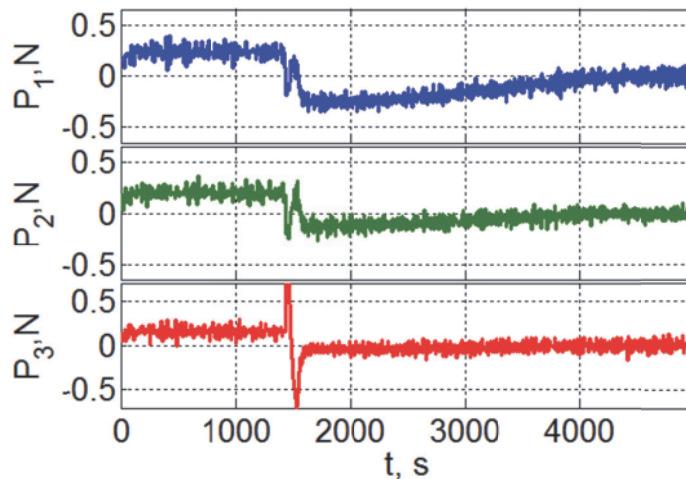


Рис. 8. Компоненты вектора тяги ДУ

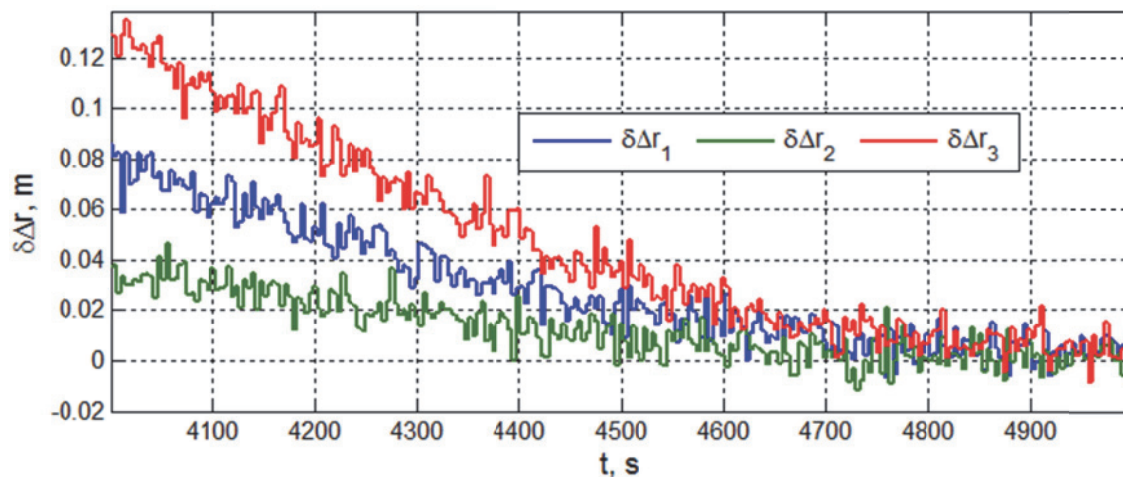


Рис. 9. Изменения погрешностей дальности при завершении сближения и стабилизации

Нс. С другой стороны, такому минимальному импульсу тяги при цифровом управлении РД соответствует расчетная дискретность квантования его тяги по уровню $d^c = IP_{pr}/T_u^c = 0.03125$ Н. Выполненная компьютерная имитация показала близость значений погрешности стабилизации дальности при реализации синтезированного закона наведения КРМ как при широтно-импульсном управлении реактивными двигателями с параметрами $T_u^c = 4$ с, $\tau_m = 0.25$ с и $P^m = 0.5$ Н, так и при цифровом управлении с дискретностью $d^c = 0,03$ Н

квантования их тяги по уровню. В обоих вариантах на интервале времени $t \in [4250, 5000]$ с система управления движением КРМ обеспечивает стабилизацию его положения относительно пассивного космического объекта с точностью не хуже 0.3 м.

ЗАКЛЮЧЕНИЕ

Разработана стратегия пространственного наведения и управления движением КРМ, апробированная в первоочередной задаче заверше-

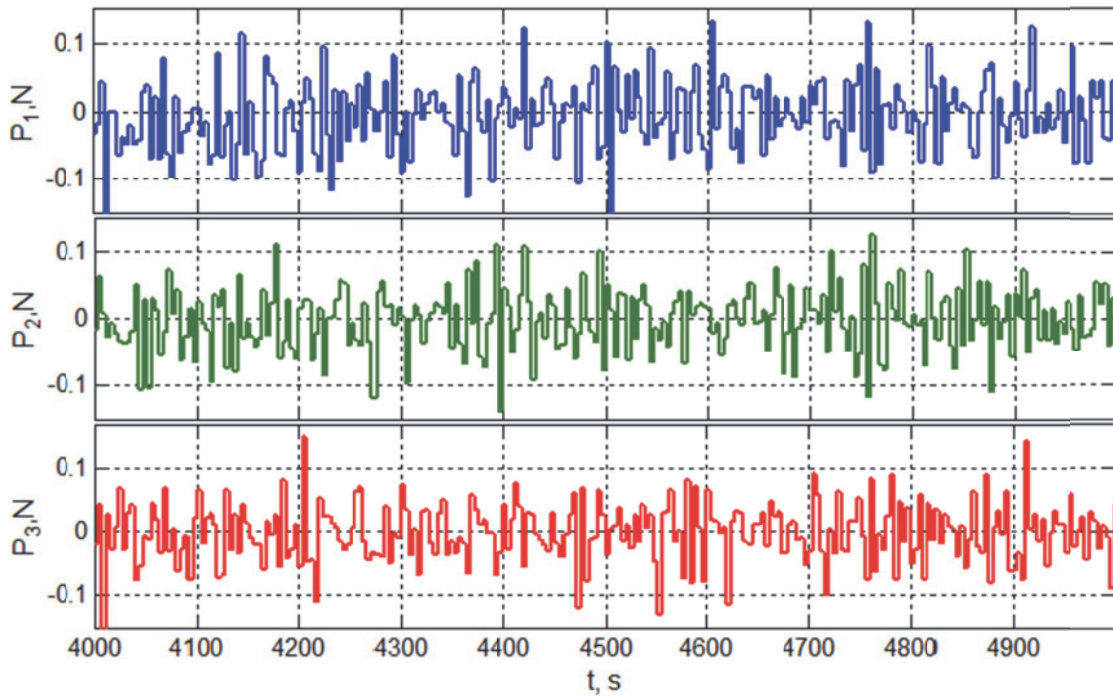


Рис. 10. Изменения компонентов вектора тяги ДУ при завершении сближения и стабилизации

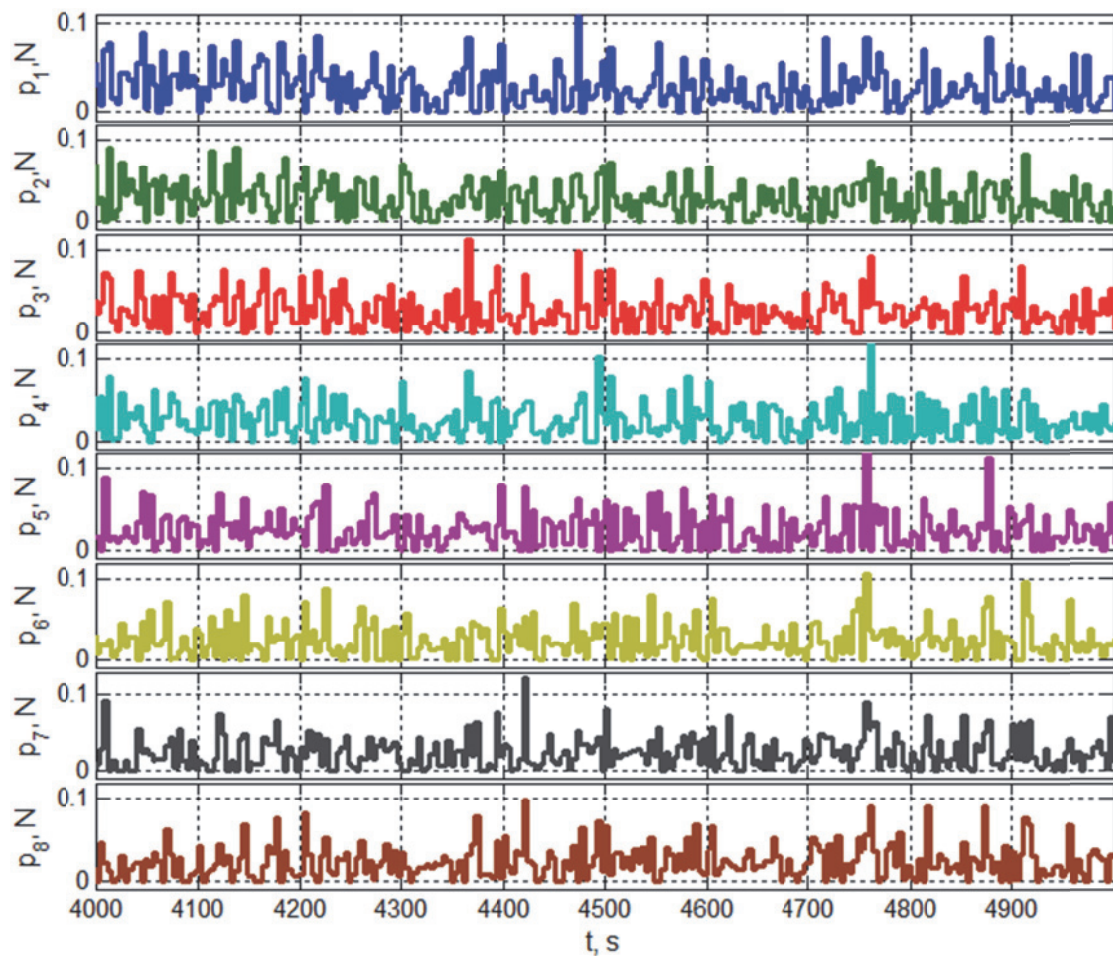


Рис. 11. Изменения тяги восьми РД при завершении сближения и стабилизации

ния сближения свободнолетающего робота с вращающимся пассивным объектом (целью) в дальнем космосе, когда можно пренебречь внешними возмущениями. Представлены создан-

ные законы наведения и дискретные алгоритмы управления движением, а также результаты компьютерной имитации процессов при завершении сближения КРМ с целью и последующей

стабилизации его положения относительно подвижного ПКО. Приведены оценки потребных ресурсов системы управления КРМ в отношении характеристик измерительных подсистем и исполнительных органов – минимально-избыточного кластера силовых гироскопов (гиродинов) с цифровым управлением и двигательной установки на основе восьми реактивных двигателей малой тяги как с широтно-импульсным, так и цифровым управлением, при которых обеспечивается требуемая точность системы управления движением робота-манипулятора.

СПИСОК ЛИТЕРАТУРЫ

1. Рутковский В.Ю., Суханов В.М., Глумов В.М. Некоторые задачи управления свободнолетающими космическими манипуляционными роботами. I // Мехатроника, автоматизация, управление. 2010. № 10. С. 52-59.
2. Рутковский В.Ю., Суханов В.М., Глумов В.М. Некоторые задачи управления свободнолетающими космическими манипуляционными роботами. II // Мехатроника, автоматизация, управление. 2010. № 12. С. 54-65.
3. Flores-Abad A., Ma O., Pham K., Ulrich S. A review of space robotics technologies for on-orbit servicing // Progress in Aerospace Sciences. 2014. Vol. 68. P. 1-26.
4. Fehse W. Automated rendezvous and docking of spacecraft. Cambridge University Press. 2003. Vol. 16. 495 p.
5. Сомов Е.И. Анализ сингулярных состояний и синтез явных законов настройки гироскопических кратных схем // Гироскопия и навигация. 2013. № 1(80). С. 134-148.
6. Сомов Ye.I., Butyrin S.A., Sorokin A.V., Platonov V.N. Steering the spacecraft control moment gyroscope clusters // Proceedings of 10th Saint-Petersburg International Conference on Integrated Navigation Systems. 2003. P. 403-419.
7. Somov Ye., Butyrin S., Somova T. Synthesis of the vector spline guidance laws for a land-survey satellite at scanning observation and rotational maneuvers // Proceedings of International Conference "Stability and Oscillations of Nonlinear Control Systems". Moscow. 2016. P. 1-4.
8. Сомов Е.И. Аналитический синтез программного гиросилового управления свободнолетающим космическим роботом // Проблемы управления. 2006. № 6. С. 72-78.
9. Somov Ye. Guidance, navigation and control of information satellites: Methods for modeling, synthesis and nonlinear analysis // Mathematics in Engineering, Science and Aerospace. 2016. Vol. 7, no. 2. P. 223-248.
10. Somov Ye., Butyrin S., Somov S. Attitude guidance, navigation and robust control of an agile land-survey satellite // Proceedings of 8th International Conference on Recent Advances in Space Technologies. 2017. P. 443-448.

GUIDANCE AND CONTROL OF FREE-FLYING ROBOT DURING COMPLETION OF THE RENDEZVOUS WITH A PASSIVE OBJECT IN DEEP SPACE

© 2017 Ye.I. Somov, S.A. Butyrin

Samara Scientific Centre, Russian Academy of Sciences

We have considered the problem on spatial guidance and control of a space robot-manipulator during completion of its rendezvous with a passive object in deep space. We present results of a computer simulation and estimations of the required characteristics of control system for precise motion stabilization of the free-flying robot.

Keywords: a space robot-manipulator, rendezvous with a target, guidance, control.